

PHILIPS „MINIWATT“

Heizspannung	V_f	= 4,0 V
Tension de chauffage		
Filament voltage		
Heizstrom	I_f	ca.
Courant de chauffage		= env. 1,0 A
Filament current		appr.
Anodenspannung	$V_a \text{ max}$	= 200 V
Tension anodique		
Anode voltage		
Schirmgitterspannung	V_g'	= 60 V
Tension de grille-écran		
Screen-grid voltage		
Normaler Anodenstrom	I_a	= 4 mA
Courant anodique normal		
Normal anode current		
Neg. Gittervorspannung	V_g	ca.
Polarisation négative de grille		= env. 2 V
Negative grid bias		appr.
Verstärkungsfaktor	$g(k)$	= 400
Coefficient d'amplification		
Amplification factor		
Steilheit (max.)	S_{max}	= 1,1 mA/V
Inclinaison (max.)		
Slope (max.)		
Steilheit (norm.)	S_{norm}	= 1,0 mA/V
Inclinaison (norm.)		
Slope (norm.)		
Innerer Widerstand (norm.)	R_i	= 400000 Ohm
Résistance intérieure (norm.)		
Internal resistance (norm.)		
Anoden-Gitterkapazität	C_{ag}	= 0,02 $\mu\mu\text{F}$
Capacité grille-plaque		
Anode-grid capacity		
Max. Länge	l	= 120 mm
Longueur max.		
Overall length		
Grösster Durchmesser	d	= 52 mm
Diamètre max.		
Max. diameter		
Sockel		= 0 35
Culot		
Base		
Sockelschaltung		= S X
Connexion du culot		
Base connection		

Anwendung:	H.F.-Verstärkung	Z.F.-Verstärkung
Applications:	Amplification h.f.	Amplification m.f.
Function:	H.F. amplification	I.F. amplification

Anodengleichrichtung

Détection par caractéristique plaque

Anode bend detector

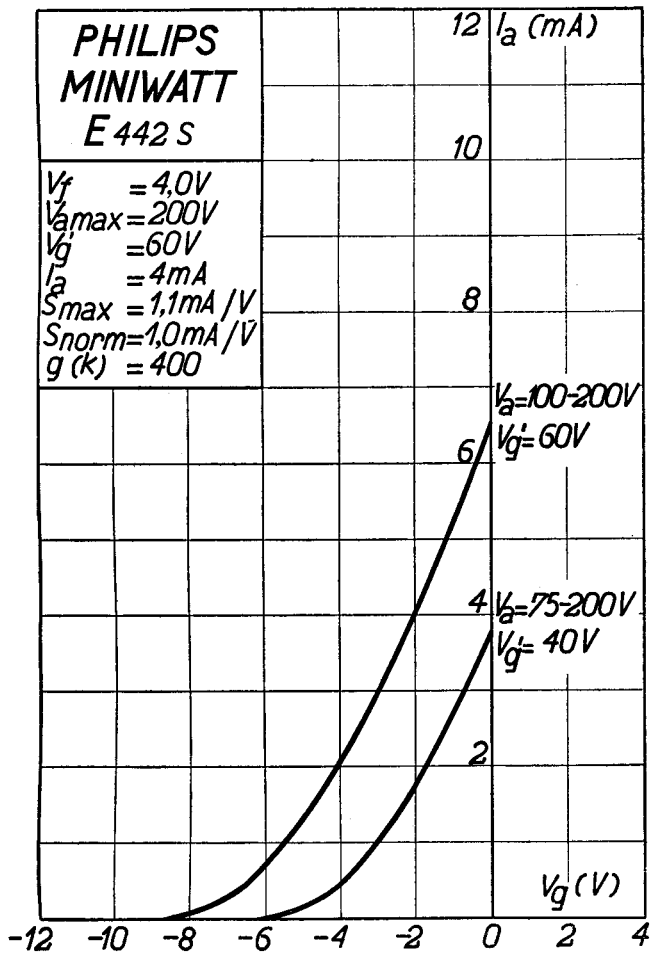
N.F.-Verstärker mit Widerstandskopplung

Amplificateur b.f. avec couplage par résistance

L.F. amplifier with resistance coupling

**PHILIPS
MINIWATT
E 442 S**

$V_f = 4,0V$
 $V_{a\max} = 200V$
 $V_g' = 60V$
 $I_a = 4mA$
 $S_{\max} = 1,1mA/V$
 $S_{\text{norm}} = 1,0mA/V$
 $g(k) = 400$



PHILIPS „MINIWATT“

Max. Anodenspannung	V_{a0}	= 400 V
Tension anodique max.	V_{aR}	= 250 V
Max. anode voltage	V_{aL}	= 200 V
Max. Anodenbelastung		
Dissipation anodique max.	W_a	= 1,0 W
Max. anode dissipation		
Max. Kathodenstrom		
Courant cathodique max.	I_c	= 10 mA
Max. cathode current		
Max. Schirmgitterspannung	V_g^I	= 400 V
Tension de grille-écran max.	V_g^I	= $V_a - 50$ V
Max. screen-grid voltage	V_g^I	= max. 100 V
Max. Schirmgitterbelastung		
Dissipation de grille-écran max.	W_g^I	= 0,25 W
Max. screen-grid dissipation		
Mittlerer Schirmgitterstrom		
Courant de grille-écran moyen	I_g^I	= 0,5 mA
Average screen-grid current		
Ungefähre Grenzsw. des Schirmgitterstr.		
Limites approxim. du cour. de gr.-écran	I_g^I min.	= 0,1 mA
Approx. limits of screen-grid current	I_g^I max.	= 1,0 mA
Gitterstrom-Einsatzpunkt		
Point de commenc. du courant de grille	V_{gi}	= -1,3 V
Starting point of grid current		
Max. Widerstand im Gitterkreis	R_{g1}	= 1,5 M. Ohm
Résistance max. dans le circuit de grille	R_{g2}	= 1,0 M. Ohm
Max. resistance in grid circuit		
Max. Spann. zwischen Faden und Kath.		
Tension max. entre filament et cathode	V_{fc}	= 50 V
Max. voltage between filam. and cathode		
Max. Widerst. zwischen Faden und Kath.		
Résist. max. entre filament et cathode	R_{fc}	= 20000 Ohm
Max. resist. betw. filament and cathode		
Kapazitäten	C_g	= 8,8 $\mu\mu\text{F}$
Capacités	C_a	= 6,4 $\mu\mu\text{F}$
Capacities	C_{ag}	= 0,02 $\mu\mu\text{F}$

I_a (mA)

